

Моделирование цифрового однополосного преобразования частоты в тракте приведения умножающего кольца ИФАП

Рассмотрен способ цифрового однополосного преобразования частоты с понижением в тракте приведения (ТП) кольца импульсно-фазовой автоподстройки и показана его предпочтительность для нониусного ТП.

Тракт приведения, цифровой синтез частот, кольцо ИФАП, счетчик импульсов, нониусное деление частоты, сумматор по модулю 2

При синтезе частот желательно уменьшать коэффициент умножения P фазовых шумов, приходящих с опорным колебанием $f_{\text{опНЧ}}$. Для этого в тракте приведения (ТП) синтезатора, построенного с помощью умножающего кольца импульсно-фазовой автоподстройки (ИФАП) частоты, необходимо минимизировать коэффициент деления P выходной частоты $f_{\text{выхВЧ}}$: $P = f_{\text{выхВЧ}} / f_{\text{опНЧ}}$.

Указанная задача решается с помощью понижения частоты $f_{\text{СИ}}$ на входе счетчика импульсов СИ (рис. 1), для чего в ТП выполняется смешивание (перемножение) синтезируемого колебания с частотой $f_{\text{выхВЧ}}$: $A(t) = A_0 \cos(2\pi P F_c t)$ (A_0 – амплитуда синтезируемого колебания; $P = f_{\text{выхВЧ}} / F_c$; F_c – шаг сетки частот), поступающего от перестраиваемого генератора ПГ, с дополнительным колебанием с частотой $f_{\text{доп}}$ $B(t) = B_0 \cos(2\pi D F_c t)$ (B_0 – амплитуда дополнительного колебания; $D = f_{\text{доп}} / F_c$ [1]). В результате синтезируется колебание

$$C(t) = A(t)B(t) = (A_0 B_0 / 2) \times \{ \cos 2\pi[(P-D)F_c t] + \cos[2\pi(P+D)F_c t] \}. \quad (1)$$

Первый компонент в правой части выражения (1) является полезным, а второй – отфильтровывается с помощью фильтра Φ (нижних частот, верхних частот или полосового).

СИ понижает частоту сигнала в M раз, и на выходе ТП колебание имеет частоту

$$f_{\text{ТП}} = (f_{\text{выхВЧ}} - f_{\text{доп}}) / M = (P - D) F_c / M,$$

равную частоте сравнения в импульсно-фазовом детекторе ИФД (см. рис. 1). Вместо ИФД в кольце ИФАП можно использовать частотно-фазовый детектор ЧФД [1]. Заметим, что в случае использования СИ с целочисленным коэффициентом деления $F_c \equiv f_{\text{опНЧ}} \equiv f_{\text{ИФД}}$.

Целью настоящей статьи является рассмотрение математической модели и результатов моделирования цифрового когерентного однополосного преобразователя частоты в тракте приведения умножающего кольца ИФАП.

При использовании однополосного преобразования можно выделить требуемую боковую полосу частот при одновременном подавлении второй боковой полосы с помощью фазового метода [2]. Структурная схема однополосного преобразования приведена на рис. 2. Ему соответствует формула

$$\begin{aligned} C(t) &= C_c(t) + C_s(t) = \\ &= A_c(t) B_s(t) + A_s(t) B_c(t) = \\ &= A_0 B_0 \sin[2\pi(P-D)F_c t], \end{aligned} \quad (2)$$

где A_c , B_c , A_s , B_s – ортогональные компоненты входных аналоговых сигналов.

Фазовращатели $\varphi = \pi/2$, множители и сумматор могут быть реализованы с помощью аналого-

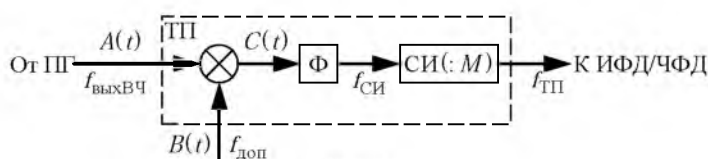


Рис. 1

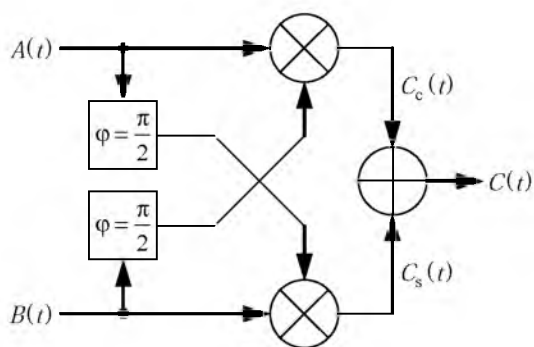


Рис. 2

вых операционных элементов [2]. Однако создание широкополосного аналогового фазовращателя является достаточно сложной инженерной задачей.

При цифровом синтезе частот и сигналов данная задача формулируется аналогично (2) и рис. 2, но при этом преобразуются частоты следования входных двухуровневых импульсных последовательностей, например меандров [3]:

$$\begin{cases} A_{ц}(t) = \sum_{m=-\infty}^{m=\infty} \frac{\sin(m\pi/2)}{m\pi} \exp(jm2\pi PF_c t); \\ B_{ц}(t) = \sum_{m=-\infty}^{m=\infty} \frac{\sin(m\pi/2)}{m\pi} \exp(jm2\pi DF_c t). \end{cases} \quad (3)$$

Цифровое преобразование частот подразумевает реализацию операционных узлов на цифровых логических элементах, но выделение полезного компонента спектра из полученного (необязательно двухуровневого) сигнала следует производить с помощью аналогового фильтра.

Аналогом линейного перемножителя для цифровых двухуровневых исходных колебаний вида (3) является элемент "сумматор по модулю 2" ("исключающее ИЛИ"), реализующий булеву функцию

$$C = \bar{A}B + A\bar{B} = A \oplus B.$$

В таблице представлены все возможные соотношения знаков входных сигналов A и B и выходного сигнала C , получаемого в результате их перемножения. Перейдя без потери общности для цифровых логических элементов от совокупности значений сигналов $\{0, 1\}$ к совокупности $\{-1, 1\}$, получим возможность сопоставить указанным соотношениям знаков выходные сигналы цифровых схем. В таблице приведены такие сигналы для цифровых схем, выполняющих функции "И"

A	B	C	$\&$	1	\oplus
-1	-1	-1	-1	-1	-1
1	-1	1	-1	1	1
-1	1	1	-1	1	1
1	1	-1	1	1	-1

($\&$), "ИЛИ" (1) и "сумматор по модулю 2" (\oplus). Как следует из таблицы, только для последней схемы выходной цифровой сигнал соответствует всем возможным сочетаниям знаков сигналов на входе и на выходе аналогового перемножителя.

В соответствии с моделью рис. 1 и формулами (1) и (3) цифровые эквиваленты $C_{ц}(t)$, $C_{sц}(t)$ компонентов сигнала $C_c(t)$, $C_s(t)$ соответственно (см. рис. 1) на выходе цифрового перемножителя на основе логического элемента "исключающее ИЛИ" можно записать в виде

$$\begin{cases} C_{ц}(t) = A_{ц}(t)B_{ц}(t) = \\ = \sum_{m=1}^{m=\infty} \frac{\sin(m\pi/2)}{m\pi} \cos(m2\pi PF_c t) \times \\ \times \sum_{k=1}^{k=\infty} \frac{\sin(k\pi/2)}{k\pi} \cos(k2\pi DF_c t); \\ C_{sц}(t) = A_{sц}(t)B_{sц}(t) = \\ = \sum_{m=1}^{m=\infty} \frac{\sin(m\pi/2)}{m\pi} \sin(m2\pi PF_c t) \times \\ \times \sum_{k=1}^{k=\infty} \frac{\sin(k\pi/2)}{k\pi} \sin(k2\pi DF_c t), \end{cases}$$

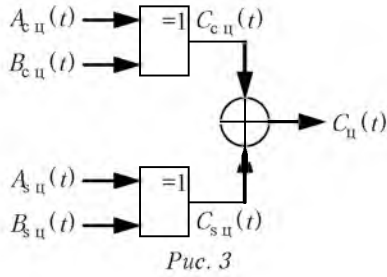
где $A_{ц}(t)$, $A_{sц}(t)$, $B_{ц}(t)$, $B_{sц}(t)$ – составляющие цифровых эквивалентов входных сигналов (3).

Объединив операции суммирования и выполнив приведение тригонометрических функций, получим

$$\begin{cases} C_{ц}(t) = \frac{1}{2} \sum_{m=1}^{m=\infty} \sum_{k=1}^{k=\infty} \left(\frac{\sin(k\pi/2)\sin(m\pi/2)}{km} \times \right. \\ \times \{ \cos[2\pi(mP - kD)F_c t] + \\ \left. + \cos[2\pi(mP + kD)F_c t] \} \right); \\ C_{sц}(t) = \frac{1}{2} \sum_{m=1}^{m=\infty} \sum_{k=1}^{k=\infty} \left(\frac{\sin(k\pi/2)\sin(m\pi/2)}{km} \times \right. \\ \times \{ \cos[2\pi(mP - kD)F_c t] - \\ \left. - \cos[2\pi(mP + kD)F_c t] \} \right). \end{cases} \quad (4)$$

В результате заключительного аналогового суммирования (см. рис. 2) имеем трехуровневый сигнал (рис. 3):

$$\begin{aligned} C_{ц}(t) &= C_{ц}(t) + C_{sц}(t) = \\ &= \sum_{m=1}^{m=\infty} \sum_{k=1}^{k=\infty} \left\{ \frac{\sin(k\pi/2)\sin(m\pi/2)}{km} \times \right. \\ &\quad \left. \times \cos[2\pi(mP - kD)F_c t] \right\}. \end{aligned} \quad (5)$$



Аргумент косинуса в правой части (5) описывает имеющиеся в выходном сигнале гармоники. Коэффициенты при F_c , задающие частоты этих гармоник, определяются решением диофантова уравнения (уравнения в целых числах) $mP + kD = |L \pm x|$, где $L = P - D$ – полезный компонент выходного колебания; $x = 0, 1, 2, \dots, L-1$. Решение этого уравнения ищется в виде [4]:

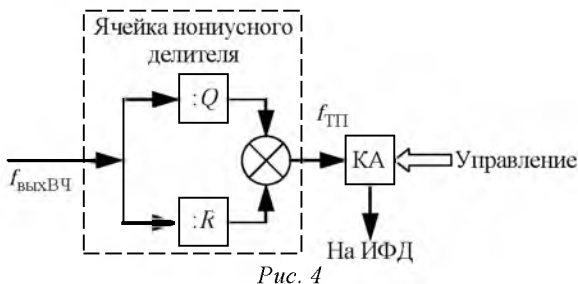
$$\begin{cases} m = |S+1| + Pz, \\ S = (-1)^{g-1} (\pm x) P_{r-1}, \end{cases}$$

где $z = 0, \pm 1, \pm 2, \dots$; g – количество членов разложения числа $G = P/D$ в цепную дробь по алгоритму Эвклида; P_{r-1} – числитель предпоследнего члена указанного разложения. Определение частот компонентов необходимо для формулировки требований к фильтру Ф (см. рис. 1).

Отметим, что при целочисленных значениях Q и R в спектре выходного колебания $C_{сц}(t)$ имеются только гармоники полезного компонента LF_c [4].

Колебание с частотой $L = P - D$ можно получить внутри кольца ИФАП, не прибегая к дополнительному усложнению структуры синтезатора. Для этого в ТП вместо одного СИ используют два или более [5] (рис. 4). Коэффициенты деления параллельно включенных СИ выбирают близкими (как правило, $|Q - R| = 1$). Такое преобразование в ТП называют нониусным (vernier) [6]. Эквивалентный коэффициент деления частоты нониусной ячейки ТП при $|Q - R| = 1$ определяется произведением QR .

С использованием нониусного цифрового ТП обе преобразуемые последовательности получают



из одной исходной (опорной) частоты целочисленным делением исходной частоты $f_{\text{выхВЧ}} = PF_c$ в Q и в R раз [5], [7]. Тогда после формирования цифровых эквивалентов входных сигналов имеем

$$\begin{cases} A_{ц}(t) = \sum_{m=1}^{m=\infty} \frac{\sin(m\pi/2)}{m\pi} \cos[2m\pi(P/Q)F_c t]; \\ B_{ц}(t) = \sum_{m=1}^{m=\infty} \frac{\sin(m\pi/2)}{m\pi} \cos[2m\pi(P/R)F_c t]. \end{cases} \quad (6)$$

В выражениях (4)–(6) номинальные значения частот определяются коэффициентами P, Q и R , представляющими собой отношения частот к шагу частотной сетки F_c . При этом $P > Q, P > R, (P, Q) = 1; (P, R) = 1; (Q, R) = 1$, т. е. P, Q и R – целые и попарно взаимно простые числа. Таким образом, когерентные преобразования (вычитание) исходных частот цифровых колебаний можно осуществить цифроаналоговым способом.

С учетом сочетаний уровней сигналов на выходах сумматоров по модулю 2 выходной аналоговый сумматор в схеме на рис. 3 должен обеспечивать получение трехуровневого колебания $C_{ц}(t)$.

На рис. 5 приведена модель цифрового алгебраического сумматора частот в среде MicroCap9 и указаны контрольные точки, эпюры колебаний в которых приведены на рис. 6 и 7, где представлены результаты моделирования сигналов в рассмотренной цифроаналоговой структуре при соотношении входных частот 4/5, т. е. при $Q = 4$ и $R = 5$.

Дискретный сдвиг фазы исходных колебаний на $\pi/2$ в широкой полосе частот выполняется с дополнительным понижением выходной частоты в четыре раза (рис. 6, эпюры в контрольных точках 6 и 8 (выходная цепь делителя Q) (см. рис. 5) и в точках 7 и 9 (выходная цепь делителя R)). В итоге частота на выходе нониусного ТП

$$f_{\text{ТП}} = (f_{\text{вых}}/4)(1/4 - 1/5) = f_{\text{вых}}/80.$$

На рис. 7 приведены эпюры колебаний на выходе схемы аналогового суммирования (контрольная точка 12) и выходного колебания $C(t)$ (контрольная точка 13) после прохождения через однозвенный (13–1) и двухзвенный (13–2) RC-фильтр нижних частот (см. рис. 5). Для сравнения здесь же приведены эпюры колебаний на выходе цифрового смесителя (сумматора по модулю 2) (контрольная точка 14) и выходного колебания после прохождения через аналогичный однозвенный (15–1)

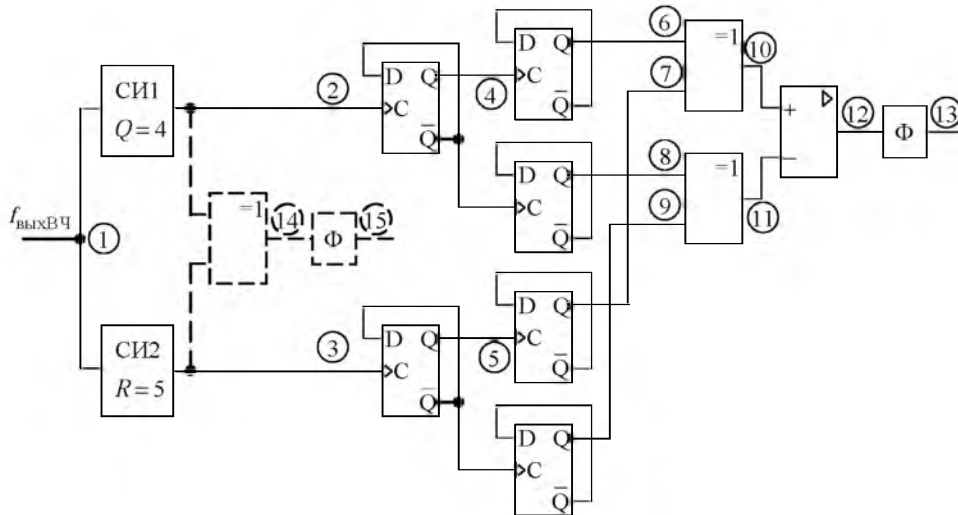


Рис. 5

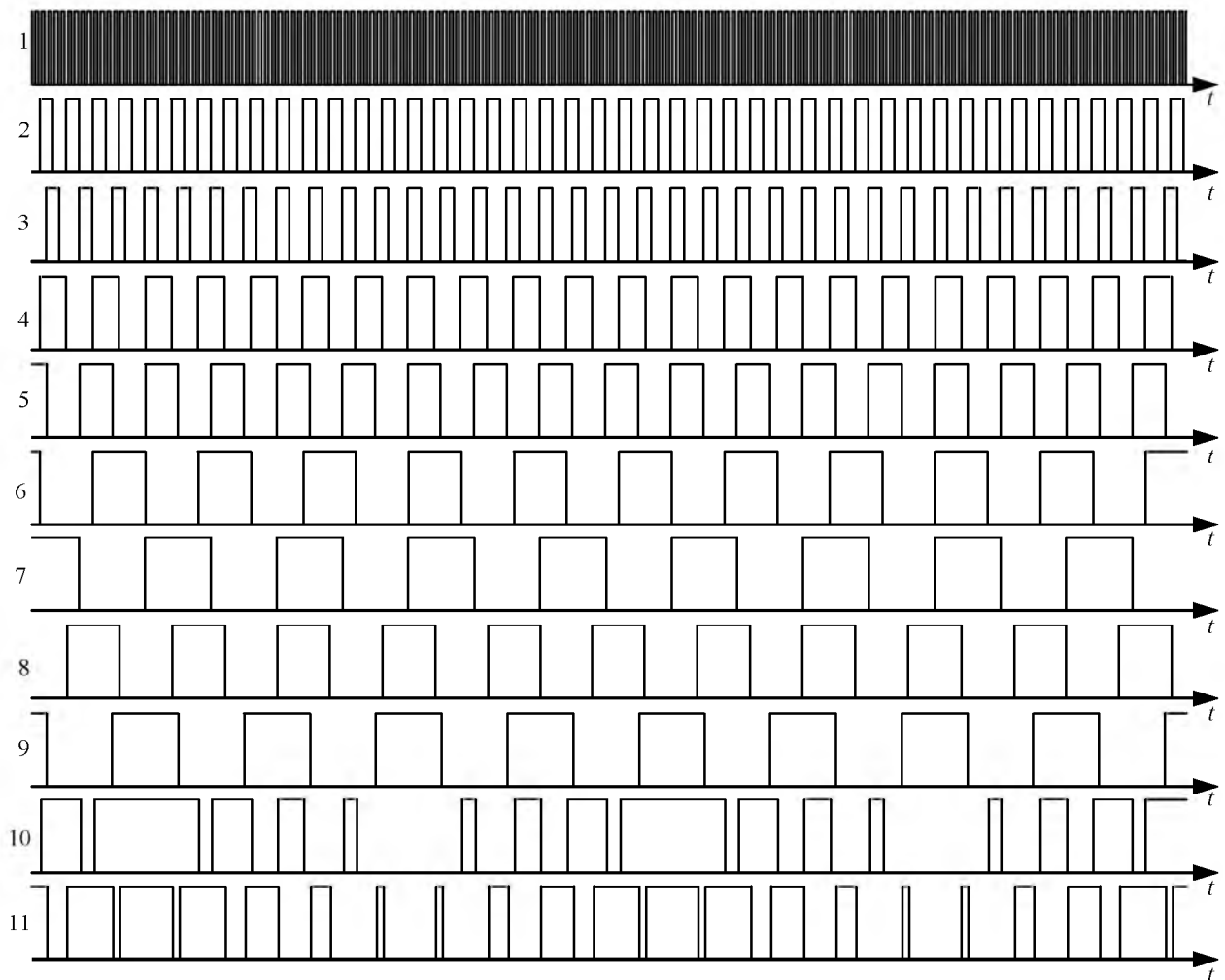


Рис. 6

и двухзвенный (15–2) RC -фильтры нижних частот (контрольная точка 15) (см. рис. 5) Сравнив эпюры 13–1 с (15–2) и 13–2 с 15–2 (рис. 7), можно сделать вывод, что при однополосном цифровом преобразовании требования к аналоговой фильтрации выходного колебания разностной частоты $f_{ТП}$ ослаблены.

Применение цифровых смесителей целесообразно прежде всего в нониусных ТП умножающих колец ИФАП (см. рис. 4) и в цифроаналоговых ТП с вычитанием (см. рис. 1) [5], поскольку при этом облегчаются требования к выходному фильтру Ф.

Использование цифроаналоговых однополосных понижающих смесителей особенно целесо-

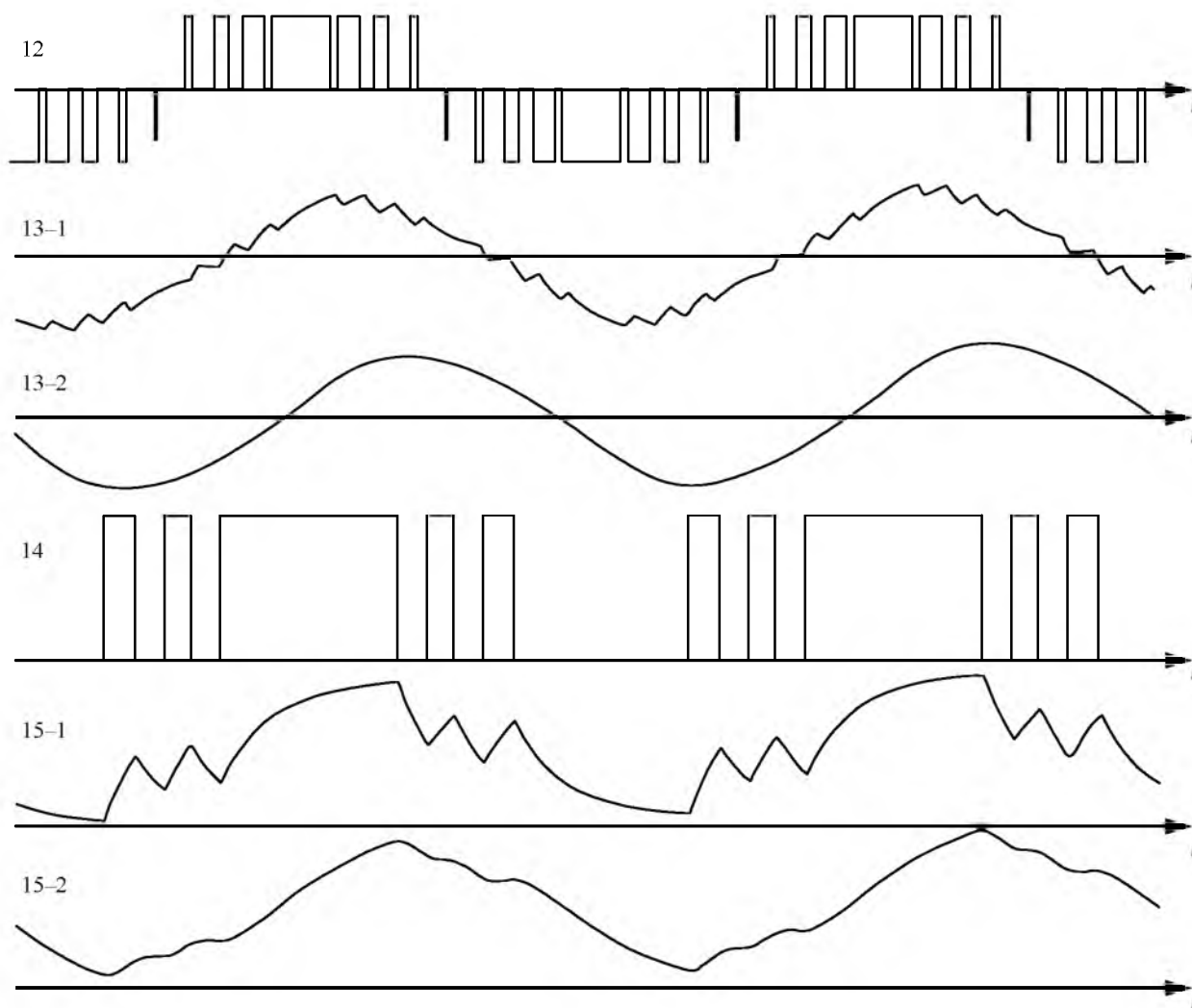


Рис. 7

образно в нониусных ТП [5], [7], поскольку в них снижается количество преобразований цифровых сигналов в аналоговые и аналоговых – в цифровые.

Следует также заметить, что амплитуда выходного колебания цифрового смесителя (после фильтра Ф) сопоставима по уровню с амплитуда-

ми входных колебаний и значительно превышает амплитуду сигналов на входе и на выходе аналогового смесителя. Из этого можно сделать вывод, что при прочих равных условиях относительный уровень шумов в ТП с цифровым смесителем будет ниже, чем в ТП с аналоговым смесителем.

СПИСОК ЛИТЕРАТУРЫ

1. Шапиро Д. Н. Паин А. А. Основы теории синтеза частот. М.: Радио и связь, 1981. 264 с.
2. Гоноровский И. С. Радиотехнические цепи и сигналы. М.: Сов. радио, 1977. 608 с.
3. Харкевич А. А. Спектры и анализ. М.: ГИФМЛ, 1962. 236 с.
4. Никитин Ю. А. Математическая модель формирования колебаний с использованием методов пассивного цифрового синтеза // Изв. вузов. Приборостроение. 2011. № 9. С. 52–57.

5. Никитин Ю. А. Анализ целочисленного нониусного тракта приведения умножающего кольца импульсно-фазовой автоподстройки частоты // Изв. вузов России. Радиоэлектроника. 2011. Вып. 6. С. 58–65.
6. Sadowski B. A self-offset phase-locked loop // Microwave j. 2008. Vol. 51, № 4. P. 116–124.
7. Никитин Ю. А. Анализ дробного нониусного тракта приведения умножающего кольца импульсно-фазовой автоподстройки частоты // Изв. вузов России. Радиоэлектроника. 2012. Вып 1. С. 31–37.

Y. A. Nikitin

Saint-Petersburg branch "Leningrad department of Research institute of radio"

Modeling single sideband of digital frequency conversion in the path of bringing multiplies PLL*To reduce the level of phase noise in the near zone offset from the carrier wave is desirable to reduce the factor of division in the PLL.*

Cast tract, digital frequency synthesis, impulse PLL, pulse counter, the vernier frequency division, adder modulo 2

Статья поступила в редакцию 11 февраля 2014 г.

УДК 519.725.3

Данг Ким Нгок

Санкт-Петербургский государственный электротехнический университет "ЛЭТИ"

Использование верхней границы вероятности битовой ошибки для поиска хороших сверточных кодов*Приведены алгоритм и результаты расчета верхней границы вероятности битовой ошибки по усеченной передаточной функции сверточного кода. Представлены результаты поиска хороших кодов со скоростями 1/2, 1/3, 1/4 по критерию верхней границы битовой ошибки.***Сверточный код, верхняя граница, усеченная передаточная функция, вероятность битовой ошибки**

Общепринято сравнивать сверточные коды по вероятности битовой ошибки [1]. Эффективность кода тем больше, чем меньше вероятность битовой ошибки P_b . Эта вероятность может вычисляться с помощью машинного моделирования алгоритмов декодирования, что требует значительного времени, особенно при малой P_b и больших кодовых ограничениях. Поэтому для поиска хороших сверточных кодов используются три критерия: поиск по максимальным свободным расстояниям [2], поиск по профилю оптимального расстояния [3] и поиск по спектру оптимального расстояния (COP) [4]. Лучшим считается критерий поиска по спектру оптимального расстояния.

В настоящей статье для поиска хороших сверточных кодов предложено использовать верхнюю границу вероятности битовой ошибки.

Корректирующие свойства сверточного кода определяются передаточной функцией [1]:

$$T(D, N) = \sum_{d=d_{\text{св}}}^{\infty} a_d N^{f_d} D^d, \quad (1)$$

где d – расстояние Хэмминга рассматриваемого пути от нулевого пути; $d_{\text{св}}$ – свободное расстояние кода; a_d – число путей с расстоянием d от нулевого пути; N, D – длины входной и выходной последовательностей соответственно; f_d – вес входной последовательности с расстоянием d .

С функцией $T(D, N)$ связана верхняя граница вероятности ошибки на бит:

$$R_b \leq \left. \frac{dT(D, N)}{dN} \right|_{N=1} = \sum_{d=d_{\text{св}}}^{\infty} c_d D^d \Big|_{D=e^{-R \frac{E_b}{N_0}}}, \quad (2)$$

где c_d – число битовых ошибок для путей с расстоянием d ; R – скорость кодирования; E_b – энергия бита; N_0 – спектральная плотность мощности шума.

Верхняя граница характеризует эффективность сверточного кода. Однако ее точное вычисление требует больших временных затрат. Поэтому в настоящей статье рассмотрен расчет верхней границы по усеченной передаточной функции сверточного кода при учете путей с расстояниями $d = d_{\text{св}}$,